



УДК 539.2.21
ББК 30.6

ИЗУЧЕНИЕ ВЛИЯНИЯ ЛИНЕЙНЫХ РАЗМЕРОВ НАНОПЛИТЫ НА ЗНАЧЕНИЯ МОДУЛЕЙ ЮНГА И ЖЕСТКОСТЕЙ

О.Е. Глухова, С.С. Вецель

Экспериментально уже установлено, что модуль Юнга графена в 5 раз больше модуля Юнга стали. В настоящее время изучаются другие упругие характеристики графена, в частности жесткости, функция прогиба и др. Целью данной работы является определение жесткостей и построение уравнения прогиба нагруженной равносторонней графеновой однослойной нанопластины размером ~32 нм при помощи метода линейной комбинации атомных орбиталей (ЛКАО) в рамках теории упругости тонких плит, а также определение размерного эффекта для упругих характеристик.

Ключевые слова: графен, модуль Юнга, уравнение прогиба, закон Гука, размерный эффект, метод линейной комбинации атомных орбиталей.

1. Математическая модель изгиба тонких плит

Под *пластинкой* будем понимать упругое и ограниченное двумя параллельными плоскостями тело. Отнесем пластинку к системе координат, которую выберем следующим образом: плоскость XU совместим со срединной плоскостью, а ось z перпендикулярно. Пластинка, которая работает на изгиб, называется *плитой*. В случае с графеновым листом под двумя параллельными плоскостями понимаются виртуальные плоскости, ограничивающие монослой графена в пределах межслойного расстояния в графите 0,34 нм. Срединной плоскостью XU примем плоскость, проходящую через центры атомов. Таким образом, задача об изгибе графена (наноплиты) может, в рамках указанного приближения, рассматриваться как трехмерная задача теории упругости.

Теория равновесия плиты, защемленной по краям, построена на двух предположениях: 1) прямолинейные отрезки, которые в недеформированном состоянии пластинки были нор-

мальны к ее плоской срединной поверхности, при изгибе остаются прямолинейными и нормальными к изогнутой срединной поверхности (гипотеза прямых нормалей) и не изменяют своей длины; 2) нормальное напряжение σ_z в сечениях, параллельных срединной плоскости, есть величина малая по сравнению с напряжениями в поперечных сечениях – σ_x , σ_y , σ_{xy} (первая тройка напряжений).

Уравнения равновесия плиты записываются в виде:

$$\begin{cases} \frac{\partial \sigma_x}{\partial x} + \frac{\partial \tau_{xy}}{\partial y} + \frac{\partial \tau_{xz}}{\partial z} = 0 \\ \frac{\partial \tau_{xy}}{\partial x} + \frac{\partial \sigma_y}{\partial y} + \frac{\partial \tau_{yz}}{\partial z} = 0 \\ \frac{\partial \tau_{xz}}{\partial x} + \frac{\partial \tau_{yz}}{\partial y} + \frac{\partial \sigma_z}{\partial z} = 0 \end{cases}$$

где σ_x, σ_y – главные напряжения;
 τ_{xy} – касательное напряжение.

Уравнения закона Гука [2]:

$$\begin{cases} \varepsilon_x = a_{11} \sigma_x + a_{12} \sigma_y + a_{13} \sigma_z + a_{16} \tau_{xy} \\ \varepsilon_y = a_{12} \sigma_x + a_{22} \sigma_y + a_{23} \sigma_z + a_{26} \tau_{xy} \\ \varepsilon_z = a_{13} \sigma_x + a_{23} \sigma_y + a_{33} \sigma_z + a_{36} \tau_{xy} \\ \gamma_{yz} = a_{44} \tau_{yz} + a_{45} \tau_{xz} \\ \gamma_{xz} = a_{45} \tau_{yz} + a_{55} \tau_{xz} \\ \gamma_{xy} = a_{16} \sigma_x + a_{26} \sigma_y + a_{36} \sigma_z + a_{66} \tau_{xy} \end{cases}$$

Здесь $a_{11}, a_{12}, \dots, a_{66}$ – упругие постоянные (коэффициенты деформации); ε_y – относительная деформация вдоль главной диагонали гексагональной решетки графена; ε_x – относительная деформация вдоль меньшей диагонали, перпендикулярной главной диагонали гексагональной решетки графена; γ_{xy} – относительный сдвиг.

На основании второго предположения теории Кирхгофа в уравнениях закона Гука σ_z можно положить равными нулю и рассматривать два первых и шестое уравнения представленной выше системы:

$$\begin{cases} \varepsilon_x = a_{11} \sigma_x + a_{12} \sigma_y + a_{16} \tau_{xy} \\ \varepsilon_y = a_{12} \sigma_x + a_{22} \sigma_y + a_{26} \tau_{xy} \\ \gamma_{xy} = a_{16} \sigma_x + a_{26} \sigma_y + a_{66} \tau_{xy} \end{cases}$$

Эту систему можно рассматривать как систему трех алгебраических уравнений относительно $\sigma_x, \sigma_y, \tau_{xy}$. Решая ее, получим:

$$\begin{aligned} \sigma_x &= (a_{22} a_{66} - a_{26} a_{26}) \varepsilon_x + \\ &+ (a_{26} a_{16} - a_{12} a_{66}) \varepsilon_y + \\ &+ (a_{12} a_{26} - a_{16} a_{22}) \gamma_{xy}. \end{aligned}$$

Аналогичные уравнения получаются для σ_y, τ_{xy} . Если ввести обозначения

$$\begin{aligned} B_{11} &= \frac{(a_{22} a_{66} - a_{26} a_{26})}{\Delta}, \\ B_{12} &= \frac{(a_{26} a_{16} - a_{12} a_{66})}{\Delta}, \\ B_{16} &= \frac{(a_{12} a_{26} - a_{16} a_{22})}{\Delta}, \end{aligned}$$

(B_{ij} называются приведенными коэффициентами деформации), то для напряжений можно записать:

$$\begin{cases} \sigma_x = B_{11} \varepsilon_x + B_{12} \varepsilon_y + B_{16} \gamma_{xy} \\ \sigma_y = B_{12} \varepsilon_x + B_{22} \varepsilon_y + B_{26} \gamma_{xy} \\ \tau_{xy} = B_{16} \varepsilon_x + B_{26} \varepsilon_y + B_{66} \gamma_{xy} \end{cases}$$

Введем новые постоянные:

$$D_{ij} = B_{ij} \frac{h^3}{12}, (i, j = 1, 2, 6).$$

Постоянные D_{ij} называются жесткостями: D_{11} и D_{22} – жесткости изгиба относитель-

но осей OY и OX соответственно; D_{66} – жесткость кручения; h – толщина пластинки.

В итоге основное дифференциальное уравнение теории изгиба тонких анизотропных плит имеет вид:

$$\begin{aligned} D_{11} \frac{\partial^4 w}{\partial x^4} + 4D_{16} \frac{\partial^4 w}{\partial x^2 \partial y} + \\ + 2(D_{12} + 2D_{66}) \frac{\partial^4 w}{\partial x^2 \partial y^2} + \\ + 4D_{26} \frac{\partial^4 w}{\partial x \partial y^3} + D_{22} \frac{\partial^4 w}{\partial y^4} = q(x, y), \end{aligned} \quad (1)$$

где $q(x, y)$ – действующая на плиту нагрузка;

$W = W(x, y)$ – функция прогиба пластинки.

Графен имеет два различных модуля Юнга в направлении осей Ox и Oy , а значит его можно считать ортотропным материалом. Ортотропный материал – такой материал, у которого в каждой точке имеется три плоскости упругой симметрии. Пусть три плоскости упругой симметрии совпадают с координатными плоскостями, тогда $a_{16} = a_{26} = 0$. Упростим основное дифференциальное уравнение теории изгиба тонких плит (1). Введем технические константы:

$$\begin{aligned} a_{11} &= 1/E_1, a_{22} = 1/E_2, \\ a_{12} &= -\frac{\nu_1}{E_1} = -\frac{\nu_2}{E_2}, a_{66} = 1/G, \end{aligned}$$

где E_1 – модуль Юнга вдоль оси OX ,
 E_2 – модуль Юнга вдоль оси OY

$$E_i = \frac{2\Delta U}{\varepsilon^2 Fl};$$

ν_1, ν_2 – коэффициенты Пуассона вдоль осей Ox, Oy соответственно;

G – модуль Юнга второго рода:

$$G = \frac{E}{2(1+\nu)}$$

Выразим приведенные коэффициенты деформации и жесткости через модули упругости:

$$\begin{aligned} B_{11} &= a_{22} / (a_{11} a_{22} - a_{12}^2) = \\ &= E_1 / (1 - \nu_1 \nu_2), B_{22} = E_2 / (1 - \nu_1 \nu_2) \\ B_{12} &= \nu_1 E_2 / (1 - \nu_1 \nu_2) = \\ &= \nu_2 E_1 / (1 - \nu_1 \nu_2), B_{16} = \\ &= B_{26} = 0, B_{66} = 1/a_{66} = G, \end{aligned}$$

$$D_{11} = \frac{E_1 h^3}{12(1-\nu_1\nu_2)} = D_1,$$

$$D_{22} = \frac{E_2 h^3}{12(1-\nu_1\nu_2)} = D_2,$$

$$D_{12} = \frac{\nu_1 E_2 h^3}{12(1-\nu_1\nu_2)} = \frac{\nu_2 E_1 h^3}{12(1-\nu_1\nu_2)};$$

$$D_{16} = D_{26} = 0,$$

$$D_{66} = \frac{G h^3}{12} = D_k,$$

$$D_3 = D_{12} + 2D_{66} = \nu_2 D_1 + 2D_k = \nu_1 D_2 + 2D_k.$$

Уравнение для функции прогиба W для ортотропного материала принимает вид:

$$D_1 \frac{\partial^4 w}{\partial x^4} + 2D_3 \frac{\partial^4 w}{\partial x^2 \partial y^2} + D_2 \frac{\partial^4 w}{\partial y^4} = q(x, y). \quad (2)$$

2. Размерный эффект

В нашей работе мы также рассмотрели влияние размерного эффекта на значения модулей Юнга E_x и E_y и жесткостей D_1, D_2, D_3 (рис. 1–5). В ходе исследования мы постепенно увеличивали линейные размеры образцов, таким образом было проведено 60 отдельных экспериментов. В результате получены экспериментальные данные, которые позволили вычислить значения соответствующих модулей Юнга и жесткостей, которые являются коэффициентами при частных производных в уравнении (2).

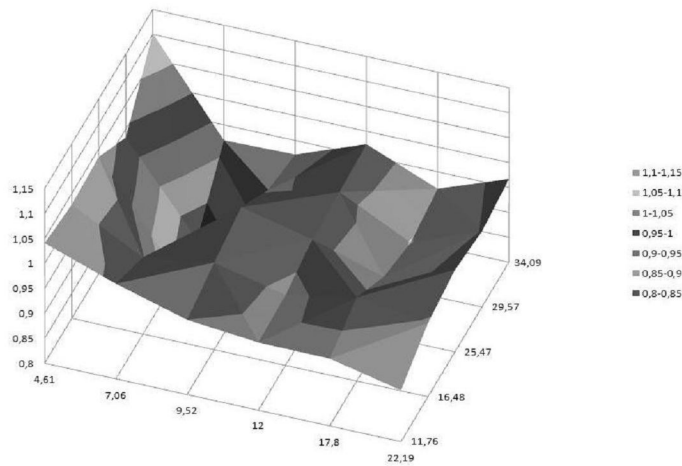


Рис. 1. Размерный эффект для модуля Юнга E_x (линейные размеры приведены в ангстремах, значения модуля Юнга – в ТПа)

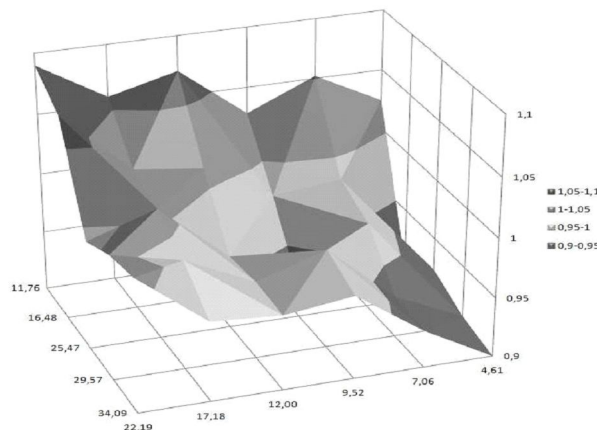


Рис. 2. Размерный эффект для модуля Юнга E_y (линейные размеры приведены в ангстремах, значения модуля Юнга – в ТПа)

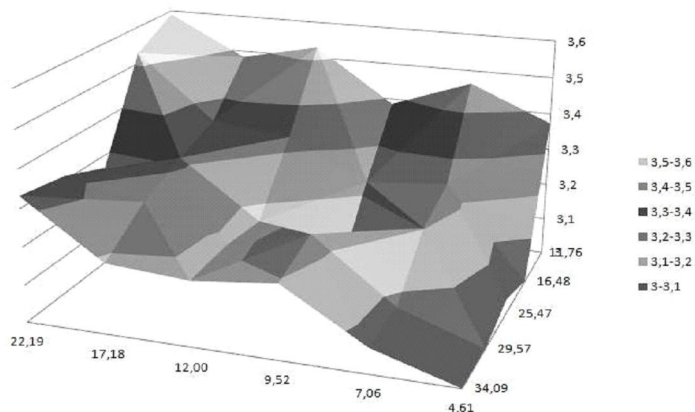


Рис. 3. Размерный эффект для изгибной жесткости D_1 (линейные размеры приведены в ангстремах, значения жесткости – в ТПа*м³)

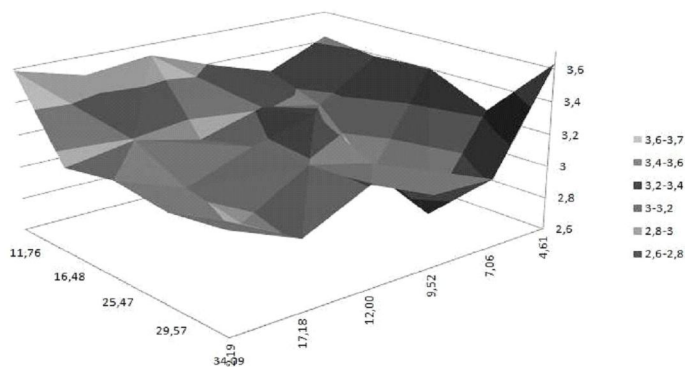


Рис. 4. Размерный эффект для изгибной жесткости D_2 (линейные размеры приведены в ангстремах, значения жесткости – в ТПа*м³)

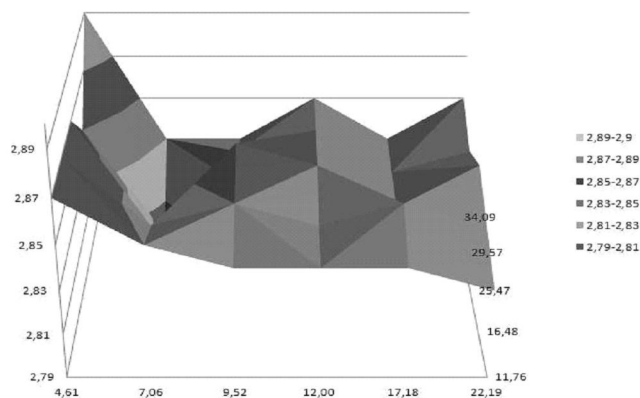


Рис. 5. Размерный эффект для крутильной жесткости D_3 (линейные размеры приведены в ангстремах, значения жесткости – в ТПа*м³)

3. Квантовая модель графена: метод линейной комбинации атомных орбиталей

Метод ЛКАО (или метод сильной связи) был ранее представлен в [1] и модифицирован для изучения стабильности углерод-

ных нанокластеров. В рамках данного метода полная энергия системы ионных ядер и валентных электронов записывается следующим образом:

$$E_{tot} = E_{bond} + E_{rep} + E_{vdW} \quad (3)$$

В данном выражении E_{bond} – энергия связи структуры, которая вычисляется как сумма энергий одночастичных заполненных состояний. Эти энергии находятся в результате решения уравнения Шредингера

$$\mathbf{H} | \psi_n \rangle = \epsilon_n | \psi_n \rangle \quad (4)$$

где \mathbf{H} – одноэлектронный гамильтониан; ϵ_n – энергия n -го одночастичного состояния.

Волновые функции $|\psi_n\rangle$ могут быть аппроксимированы линейной комбинацией атомных орбиталей (ЛКАО)

$$|\psi_n\rangle = \sum_{l\alpha} C_{l\alpha}^n |\phi_{l\alpha}\rangle, \quad (5)$$

где $\{\phi_{n\alpha}\}$ – ортогональный базисный набор;
 l – индекс квантового числа;

α – обозначает ионы.

Матричные элементы в уравнении (4) были вычислены после подбора подходящих данных, полученных из эксперимента.

Терм E_{rep} в уравнении (3) – феноменологическая энергия, которая представляет собой отталкивательный потенциал. Эта энергия может быть представлена в виде суммы парных потенциалов

$$E_{rep} = \sum_{\alpha, \beta} V_{rep}(r_{\alpha\beta}), \quad (6)$$

где V_{rep} – парный потенциал между атомами α и β . Этот потенциал описывает взаимодействие между связанными и несвязанными атомами [1]:

$$V_{rep} = V_{ij}^0 \left(\frac{1.54}{r_{\alpha\beta}} \right)^{2.796} \times \exp \left\{ 2.796 \left[- \left(\frac{r_{\alpha\beta}}{2.32} \right)^{22} + \left(\frac{1.54}{2.32} \right)^{22} \right] \right\}, \quad (7)$$

где i и j – орбитальные моменты волновой функции, γ представляет тип связи (σ or π). Значения параметров V_{ij}^0 : $V_{ss}^0 = -4.344$; $V_{sp}^0 = 3.969$; $V_{pp}^0 = 5.457$; $V_{pp\pi}^0 = -1.938$ eV [1].

4. Результаты

Вычислены значения модуля Юнга, модуля Юнга второго рода для графена и рассчитаны жесткости. Результаты приведены в таблице 1. Для сравнения: модуль сдвига для алмаза составляет 478 ГПа, а модуль Юнга для стали 210 ГПа. Для образцов графена микронных размеров были получены значения модуля Юнга $1,0 \pm 0,1$ ТПа [3]. Это достаточно хорошо согласуется с полученными здесь результатами: с увеличением размеров образца модуль Юнга будет увеличиваться, стремясь к определенному значению (по аналогии с углеродными нанотрубками [1]).

Таким образом, зная жесткости и приведенные коэффициенты деформации B_{ij} для графена (табл. 2), мы можем записать систему для определения главных и касательных напряжений, а также и уравнение для функции прогиба $W(x, y)$. Следовательно, зная коэффициенты уравнения для функции прогиба, можно решать задачу изгиба графеновой наноплиты.

Таблица 1

Значения модуля Юнга первого и второго рода, коэффициентов Пуассона

Модуль Юнга E_x (E_1), ТПа	Модуль Юнга E_y (E_2), ТПа	Коэффициент Пуассона ν_1	Коэффициент Пуассона ν_2	Модуль сдвига G_x , ТПа	Модуль сдвига G_y , ТПа
0,852	0,671	0,92	0,062	0,39	0,32

Таблица 2

Значения приведенных коэффициентов деформации и жесткостей

B_{11}	B_{22}	B_{12}	B_{66}	D_1 , ТПа * м ³	D_2 , ТПа * м ³	D_3 , ТПа * м ³
0,8568	0,6749	0,0620	0,3902	$2,806 * 10^{-30}$	$2,211 * 10^{-30}$	$2,243 * 10^{-30}$

СПИСОК ЛИТЕРАТУРЫ

1. Глухова, О. Е. Теоретическое изучение зависимостей модулей Юнга и кручения тонких однослойных углеродных нанотрубок «zig-zag» и «arm-chair» от геометрических параметров» / О. Е. Глухова, О. А. Терентьев // Физика твердого тела. – 2006. – Т. 48, вып. 7. – С. 1329–1335.

2. Лехницкий, С. Г. Анизотропные пластинки / С. Г. Лехницкий. – М. : Гос. изд-во технико-теорет. лит., 1957. – 463 с.

3. Changgu, Lee. Measurement of the Elastic Properties and Intrinsic Strength of Monolayer Graphene / Changgu Lee, Xiaoding Wei, Jeffrey W. Kysar, James Hone // Science. – 2008, 18 July. – Vol. 321. – P. 385–388.

STUDY THE INFLUENCE OF THE LINEAR DIMENSIONS OF NANOPATE ON THE VALUES OF YOUNG'S MODULUS AND HARDNESS

O.E. Glukhova, S.S.Vetsel

Experimentally found that the Young's modulus of graphene to 5 times more of Young's modulus of steel. Currently exploring other elastic properties of graphene, in particular the stiffness, Poisson's ratio, a function of deflection, etc. The purpose of this study is to determine the stiffness and the construction of the equation of deflection loaded equilateral-layer graphene plate size ~32 nm by the method of linear combination of atomic orbitals (LCAO) using elasticity theory of thin plates, and determination of the size effect for the elastic characteristics.

Key words: *graphene, Young's modulus, stiffness equation of the deflection, Hooke's law, size effect, method of linear combination of atomic orbitals.*